

# Физические свойства и структура связанной воды в фибриллярных белках коллагенового типа по данным сканирующей калориметрии

С. П. Габуда<sup>\*1)</sup>, А. А. Гайдаш<sup>\*+</sup>, В. А. Дребущак<sup>□</sup>, С. Г. Козлова\*

\* Институт неорганической химии им. А. В. Николаева Сибирского отделения РАН, 630090 Новосибирск, Россия

+ Институт клинической и экспериментальной медицины Сибирского отделения РАМН, 630117 Новосибирск, Россия

□ Институт минералогии и петрографии Сибирского отделения, 630090 Новосибирск, Россия

Поступила в редакцию 5 сентября 2005 г.

После переработки 4 октября 2005 г.

Калориметрическим методом исследован фазовый переход первого рода, наблюдающийся для половины (~50%) связанной воды в коллагене сухожилия хвоста крысы. Показано, что величина скрытой теплоты перехода, температура перехода и теплоемкость высокотемпературной фазы данной подсистемы близки к характеристикам свободной воды. Свойства другой половины связанной воды (~50%) в коллагене близки к свойствам цеолитной воды.

PACS: 87.15.By, 87.19.Pp

Фибриллярный белок коллаген составляет примерно треть всех полипептидов в организме животных и человека [1]. В сухожилиях содержание коллагена достигает 94%, в коже – до 75%, в костной ткани – около 50%. Одной из фундаментальных особенностей коллагена является то, что в его составе содержится большое количество воды, составляющей около 66% массы в нативном (неповрежденном) состоянии. Установлено, что вода играет существенную роль в механизме самосборки молекул коллагена и образования фибрел в цитоплазме коллагеноцитов, а также в механизмах биохимической активности и функционировании коллагена во внеклеточном пространстве живого организма [1]. Однако до настоящего времени принципиальный характер гидратной структуры коллагена остается невыясненным.

Коллаген характеризуется высокой степенью молекулярной упорядоченности и кристалличности. По данным рентгенодифракционного исследования с использованием пучка синхронного излучения [2,3], идеализированная структура коллагена относится к пространственной группе  $P1$ (триклинический) с параметрами решетки  $a = 39.97 \text{ \AA}$ ;  $b = 26.95 \text{ \AA}$ ;  $c = 677.9 \text{ \AA}$ ;  $\alpha = 89.24^\circ$ ;  $\beta = 94.59^\circ$ ;  $\gamma = 105.58^\circ$ . Основной структурной единицей коллагена являются стержнеобразные макромолекулы в форме тройной спирали из трех неидентичных цепочек по ~1040 аминокислотных остатков каждая; молекулярная масса такой макромолекулы (так называемого тропоколлагена) составляет ~ 300 000, ее длина ~ 2800  $\text{\AA}$ ,

диаметр ~ 14  $\text{\AA}$ . В кристаллической структуре коллагена макромолекулы укладываются параллельно оси  $c$  структуры; в  $ab$ -проекции элементарной ячейки содержится 5 их сечений (рис.1, слева), причем моле-

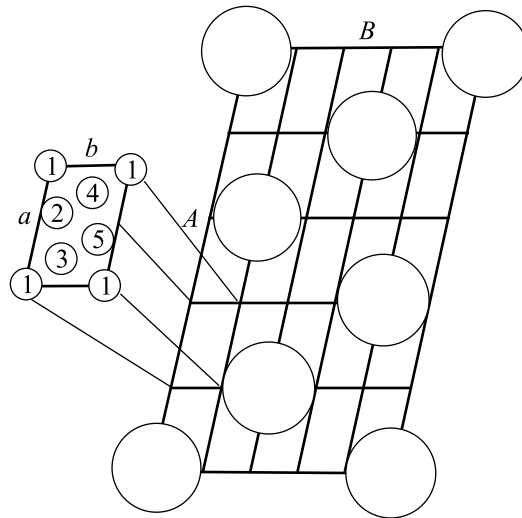


Рис.1. Расположение макромолекул тропоколлагена в продольной (вдоль оси  $c$ ) проекции. Слева:  $ab$  – проекция элементарной ячейки в плотных участках структуры коллагена, цифры от 1 до 5 указывают положения сечений структурно неэквивалентных макромолекул. Справа:  $AB$  – проекция элементарной ячейки в рыхлых участках структуры коллагена; большие круги указывают расположение “цистерн”, каждая из которых образуется за счет объединения продольных промежутков между макромолекулами из 4-х соседних субъединиц.

<sup>1)</sup> e-mail: gabuda@che.nsk.su

кулы  $\text{H}_2\text{O}$  располагаются в тесном пространстве между боковыми группировками макромолекул.

Другой структурный тип локализации  $\text{H}_2\text{O}$  в коллагене относится к более свободному пространству между концевыми  $C$ - и  $N$ -группировками макромолекул. Существенно, что в продольном направлении ( $c$ ) следующие друг за другом макромолекулы не соприкасаются своими концевыми  $C$ - и  $N$ -группировками, а величина промежутков, или “щелей”, составляет около  $350\text{--}370\text{\AA}$ . Распределение подобных “вакансий” в структуре коллагена является строго упорядоченным как в плоскостях  $AB$ , где  $A = 5a$  и  $B = 5b$  (правая часть рис.1), так и в направлении оси  $c$ , что проявляется в форме характерной поперечной исчерченности коллагена с периодом  $c_0 = 640\text{--}700\text{\AA}$ , видимой на электронно-микроскопических снимках (рис.2 [4–6]). Надмоле-

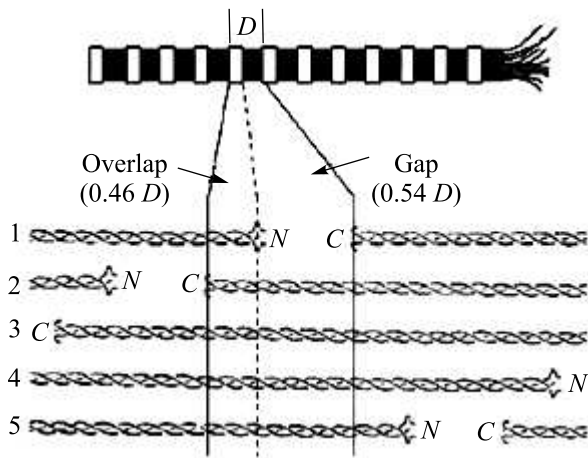


Рис.2. Схема продольной укладки макромолекул троеколлагена и формирования поперечной исчерченности. Период поперечной исчерченности  $D$  волокон фактически равен  $c_0$ . Цифры от 1 до 5 соответствуют обозначениям рис.1

кулярное строение, проявляющееся в подобной поперечной исчерченности волокон, является характерным признаком всех известных (не менее 19 типов [1]) белков группы коллагена, различающихся особенностями первичной структуры. Следствием упорядоченного расположения вакансий является наличие в структуре коллагена своеобразных “наноцистерн” сечением  $\sim 30\text{--}35\text{\AA}$  и длиной  $350\text{--}370\text{\AA}$ , свободных от коллагеновых макромолекул, но включающих нанокапиллярную воду.

Для выяснения принципиального характера гидратной структуры коллагена были исследованы образцы сухожилий хвоста крысы (RTT). Распределение воды в образцах было исследовано методом

$^2\text{H}$  ЯМР. Образцы весом 100–150 мг изымали непосредственно перед исследованием и для обогащения изотопом  $^2\text{H}$  погружали в 99%-ную тяжеловодородную воду (на 20 мин). Спектры  $^2\text{H}$  ЯМР (рис.3) представляют собой суперпозицию полос двух ти-

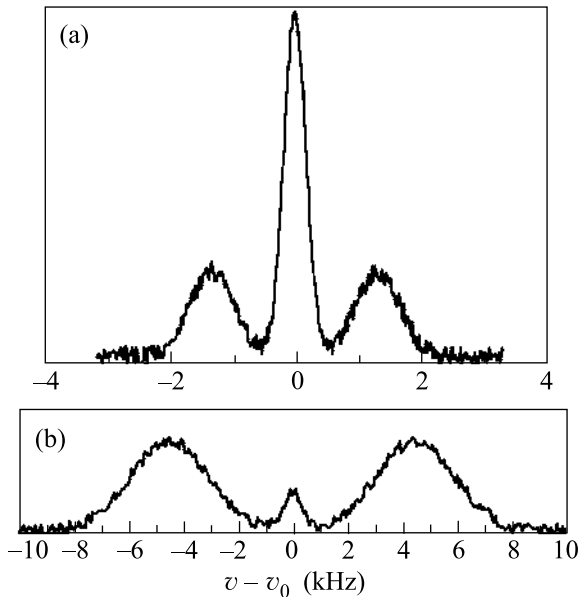


Рис.3. Спектр  $^2\text{H}$  ЯМР одиночного волокна RTT, ориентированного перпендикулярно магнитному полю спектрометра. Условия записи: спектрометр Bruker CXP-300; ларморовская частота  $v_0 = 46$  МГц, регистрация спектра после одного импульса. Расстояние между компонентами дублета  $\Delta\nu = 3/4C_{qcc}$ , где  $C_{qcc}$  – эффективная константа квадрупольной связи ядер  $^2\text{H}$ . (а) – комнатная температура; (б) – температура  $-10^\circ\text{C}$

пов – дублета, характерного для разупорядоченных квазижидкокристаллических систем [7], и центральной линии, характерной для жидкой фазы воды; соотношение двух типов составляет  $\sim 1:1$ . К первому типу можно отнести подсистему молекул воды в пространстве между боковыми группировками макромолекул, тогда как центральную линию – к водной подсистеме “цистерн” из областей “щелей”. В пользу данного заключения указывает факт скачкообразного исчезновения центральной линии при понижении температуры ниже  $-10^\circ\text{C}$ , что может быть связано с образованием фазы “нанольда в наноцистерах”. Данный факт косвенно свидетельствует в пользу модели, в соответствии с которой “рыхлые” участки структуры коллагена представляют собой текто-гидрат, или структуру, включающую непрерывный трехмерный каркас из молекул воды с тетраэдрической координацией, характерной для льда и клатратных гидратов. Прямое подтверждение подобной мо-

дели расположения молекул воды в широкопористой структуре коллагена в области "щелей" может быть получено из анализа величины скрытой теплоты фазового перехода в сухожилиях хвоста крысы RTT, обнаруживаемого не только по спектроскопическим данным  $^2\text{H}$  ЯМР [8], но и по данным сканирующей калориметрии.

Исследование было проведено на образцах сухожилий с использованием автоматического калориметра ДСК-204 Netzsch, Германия. Измерения проводили в интервале от комнатной температуры ( $+20^\circ\text{C}$ ) до  $-30^\circ\text{C}$ , скорость изменения температуры  $-3^\circ/\text{мин}$ . Типичная кривая охлаждения-нагревания представлена на рис.4. На экспериментальных кривых на-

ре тектогидрата (клатратоподобного или льдоподобного типа), то ожидаемая скрытая теплота фазового перехода в данной подсистеме должна составить  $Q_{\text{пл}}(\text{RTT}) = \sim (0.3 \cdot 0.94)$ ,  $Q_{\text{пл}}(\text{лед}) = \sim 94 \text{ Дж}/\text{г}$ , что находится в хорошем согласии с измеренными значениями для трех образцов.

На кривых охлаждения наблюдаются пониженные значения  $Q_{\text{зам}}$ , что является следствием значительного переохлаждения образцов при понижении температуры. Данный эффект позволяет получить оценочное значение теплоемкости  $c_p$  высокотемпературной фазы подсистемы молекул воды, испытывающей фазовый переход. В рамках обсуждаемой модели среднее значение величины изменения теплоты фазового перехода  $\Delta Q_{\text{пер}} = 16.55 \pm 3.9 \text{ Дж}/\text{г}$  должно быть связано со средней величиной температуры переохлаждения  $\Delta T = (11.5 \pm 0.7)^\circ$  соотношением  $\Delta Q_{\text{пер}}(\text{RTT}) = \sim (0.3 \cdot 0.94) \cdot \Delta c_p \Delta T$ , где  $\Delta c_p$  – разность между теплоемкостями воды и льда. Если свойства водной подсистемы, испытывающей фазовый переход в коллагене, соответствуют свойствам свободной воды и льда, то  $\Delta c_p = 2.062 \text{ Дж}/\text{г} \cdot \text{К}$  (вблизи  $0^\circ\text{C}$  [9]). Отсюда рассчитанная величина  $\Delta Q_{\text{пер}}(\text{RTT}) = \sim 6.69 \text{ Дж}/\text{моль}$ ; пониженное по сравнению с экспериментом значение расчетной величины  $\Delta Q_{\text{пер}}$  может указывать на существование вклада в  $\Delta c_p$ , связанного с взаимодействием молекул воды и функциональных группировок в цистернах, таких, например, как телопептиды, достоверно обнаруживаемые в окрестности щелей [2]. Аналогичный вывод следует также из некоторого повышения температуры плавления льда в коллагене по сравнению со свободным льдом (рис.4). Таким образом, на качественном уровне величина скрытой теплоты фазового перехода находится в согласии с моделью, согласно которой свойства нанокапиллярной воды в структуре коллагена близки к свойствам свободной (или объемной) воды. Повышенные температура плавления льда связанной воды в коллагене и разница теплоемкостей  $\Delta c_p$  могут указывать на некоторую взаимосогласованность структуры воды и функциональных групп, возможно, клатратного типа.

В заключение отметим, что при понижении температуры, согласно данным  $^2\text{H}$  ЯМР, в "плотных" участках структуры коллагена также наблюдается процесс уменьшения степени разупорядоченности и диффузационной подвижности молекул воды. Однако наблюдаемые плавные изменения дублетного расщепления в широком интервале температур до  $-20$  до  $-30^\circ\text{C}$  более характерны для нанопористых систем типа цеолитов и глинистых минералов. Фазовые переходы в подобных системах, как правило, являются

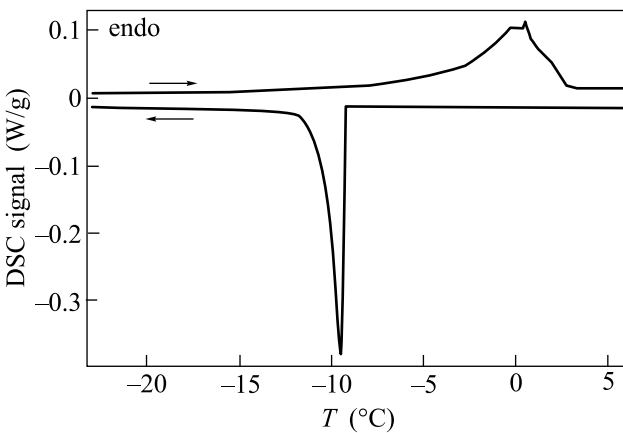


Рис.4. Типичная кривая дифференциальной сканирующей калориметрии сухожилий хвоста крысы (RTT) линии "Вистар". Количество экспериментальных животных в группе – 3; Возраст – 6 мес; навеска изымаемого образца сухожилия – 40 мг, скорость изменения температуры  $-3^\circ/\text{мин}$ . Нижняя кривая – охлаждение, верхняя кривая – нагрев

блудается переохлаждение с температурой замерзания  $T_{\text{зам}} = -9.2 \pm 0.5^\circ\text{C}$  и скрытая теплота кристаллизации  $Q_{\text{зам}} = -73.3 \pm 1.9 \text{ Дж}/\text{г}$ ; для кривых нагрева максимальное значение температуры плавления составило  $T_{\text{пл}} = +2.3 \pm 0.2^\circ\text{C}$  и скрытая теплота плавления  $Q_{\text{пл}} = 89.15 \pm 2.0 \text{ Дж}/\text{г}$ . Полученные данные можно сравнивать со справочными параметрами для скрытой теплоты плавления чистого льда:  $Q_{\text{пл}}(\text{лед}) = 333.5 \text{ Дж}/\text{г}$  [9]. При сравнении следует учитывать, что в сухожилиях содержание коллагена достигает 94%, общее содержание воды в нативном коллагене составляет около  $\sim 60\%$ , в том числе в нанокапиллярах  $\sim 30\%$ . Таким образом, если структура подсистемы молекул воды в вакансационных участках структуры коллагена при отрицательных температурах соответствует структу-

ся переходами типа порядок – беспорядок (близкими к фазовым переходам второго рода). Согласно полученным нами данным дифференциальной сканирующей калориметрии, в коллагене RTT нет тепловых эффектов, связанных с упорядочением в подсистеме “плотных” участков. Можно предполагать, что упорядочение молекул воды в плотных участках сопровождается фазовым переходом второго рода.

Работа выполнена при финансовой поддержке Российского фонда фундаментальных исследований (проект # 05-03-32263) и при частичной поддержке гранта BRHE CRDF # O-008-XI.

- 
1. *Collagen I-4*, Ed. M. E. Nimni, CRS Press: Boca Raton, FL, 1988.

2. J. P. Orgel, A. Miller, T. C. Irving et al., *Structure* **9**, 1061 (2001).
3. J. P. Orgel, A. Miller, T. C. Irving, and T. J. Wess, *Fibre diffraction Rev.* **10**, 40 (2002).
4. T. J. Wess, A. P. Hammersley, L. Wess, and A. Miller, *Journ. Mol. Biol.* **248**, 485 (1995).
5. D. J. S. Holmes, T. J. Wess, D. J. Prockop, and P. Fratzl, *Biophys. Journ.* **68**, 1661 (1995).
6. R. B. D. Frazer and B. L. Trus, *Biosci. Rep.* **6**, 221 (1986).
7. D. Freude, in *Encyclopedia of Analytical Chemistry*, Ed. R. A. Meiers, Wiley, Chichester, 2000, p. 12188.
8. С. П. Габуда, А. А. Гайдаш, Е. А. Вязовая, *Биофизика* **50**, № 2, 231 (2005).
9. *Термодинамические свойства индивидуальных веществ*, Справочн. изд., отв. ред. В. П. Глушко, том 1, кн. 2, М.: Наука, 1978.